



## ПРИКЛАДНЫЕ НАУЧНЫЕ РАЗРАБОТКИ

УДК 622.276.76: 622. 244.7  
 DOI: 10.15587/1729-4061.2015.36812

### НАПРЯЖЕННОЕ СОСТОЯНИЕ ГРУЗОПОДЪЕМНЫХ КРЮКОВ

**Кулиев Сабир Али оглы**, доктор технических наук, профессор  
 Азербайджанский архитектурно-строительный университет,  
 ул. А. Султановой, 5, г. Баку, Азербайджан, AZ-1073  
 E-mail: qezale@mail.ru

**Казимов Муса Исмаил оглы**, кандидат технических наук  
 Доцент кафедры прикладная механика, Азербайджанская Государственная Нефтяная Академия,  
 пр. Азадлыг, 20, г. Баку, Азербайджан, AZ-1073  
 E-mail: qezale@mail.ru

*Рассматривается напряженное состояние криволинейного бруса, ось которого очерчена по дуге окружности. Брус ограничен поверхностями кругового полого цилиндра. Решение поставленной задачи состоит из трех последовательно проводимых задач: выбор поперечного сечения, приближенное решение (основанное на методах сопротивления материалов) и точное решение задачи по методу теории упругости.*

*Ключевые слова: грузоподъемные крюки, напряженное состояние поперечного сечения, приближенное решение, точное решение.*

*Розглядається напружений стан криволінійного бруса, вісь якого окреслена по дузі кола. Брус обмежений поверхнями кругового полого циліндра. Рішення поставленої задачі складається з трьох послідовно проведених завдань: вибір поперечного перерізу, наближене рішення (засноване на методах опору матеріалів) і точне рішення задачі за методом теорії пружності.*

*Ключові слова: вантажопідійомні гаки, напружений стан поперечного перерізу, наближене рішення, точне рішення.*

#### 1. Введение

Точное решение задачи о чистом изгибе криволинейного бруса единичной ширины впервые получено русским ученым Х. С. Головиным в 1881 г. Здесь же рассматривается решение осесимметричных задач с произвольным поперечным сечением.

#### 2. Выбор поперечного сечения

Сначала введем некоторые необходимые обозначения, одинаковые для всех криволинейных брусев.

- $\rho$  – радиус кривизны оси бруса;
- $P$  – радиус кривизны нейтрального слоя бруса;
- $P_1$  – радиус кривизны наружных волокон;
- $P_2$  – радиус кривизны внутренних волокон;
- «C» – центр тяжести поперечного сечения; «O» – центр кривизны (рис. 1).

Как известно, в кривом бруске нейтральная ось  $OZ$  не проходит через центр тяжести поперечного сечения «C», а проходит на расстояние  $e = \rho - r$  от центра тяжести «C» (рис. 2).

Согласно, например [1–4], координаты центра тяжести любой фигуры определяются выражениями:

$$x_c = \frac{\sum F_i x_i}{\sum F_i} = \frac{F_1 x_1 + F_2 x_2 + \dots}{F_1 + F_2 + \dots},$$

$$y_c = \frac{\sum F_i y_i}{\sum F_i} = \frac{F_1 y_1 + F_2 y_2 + \dots}{F_1 + F_2 + \dots}.$$

где  $x_i$  и  $y_i$  – координаты центра тяжести отдельных простых составных частей площади поперечного сечения;  $F_i$  – площадь  $i$ -й фигуры;  $\sum F_i = F$  – площадь всего сечения бруса.

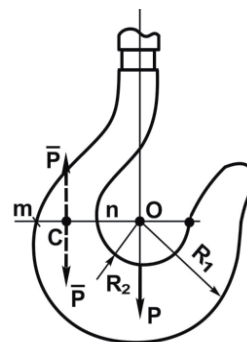


Рис. 1. Крюк грузоподъемный

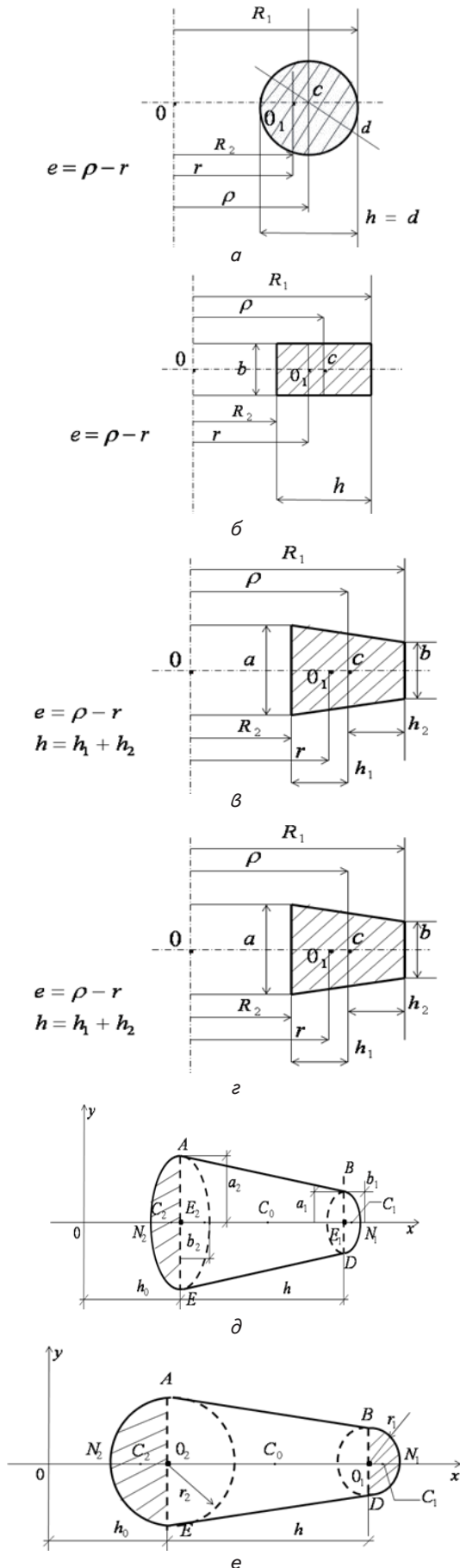


Рис. 2. Поперечные сечения бруса

1. Поперечным сечением бруса является круг (рис. 2, а). Площадь круга  $R_1$ , координата центра тяжести по оси  $R_1$  (относительно центра изгиба нейтрального слоя точки «0»)  $x_c = R_2 + R$ ;  $y_c = 0$ :

$$r = d^2 / \left[ 4 \left( 2\rho - \sqrt{4\rho^2 - d^2} \right) \right]; \quad R = \frac{d}{2};$$

$$e = \rho - r = \frac{d^2}{16\rho} \left[ 1 + \frac{1}{4} \left( \frac{d}{2\rho} \right)^2 \right]. \quad (1)$$

2. Поперечное сечение бруса имеет форму прямоугольника (рис. 2, б). Тогда будем иметь:

$$F = h \cdot b; \quad x_c = R_2 + \frac{h}{2};$$

$$r = \rho \left[ 1 - \frac{1}{3} \left( \frac{h}{2\rho} \right)^3 \right]; \quad e = \rho - r = \frac{\rho}{3} \cdot \left( \frac{h}{2\rho} \right)^2; \quad (2)$$

3. Поперечным сечением кривого бруса является трапеция (рис. 2, в).

В зависимости вида оснований здесь возможны несколько вариантов:

а) если в основании трапеции прямые и параллельные линии величиной  $a$  и  $b$ , то будем иметь (рис. 2, в)

$$x_c = R_2 + h_1; \quad h_1 = \frac{2b + a}{a + b} \cdot \frac{h}{3}; \quad y_c = 0;$$

$$F = \frac{a + b}{2} h_1; \quad e = \rho - r;$$

$$r = \frac{h(a + b)}{2 \left[ \frac{aR_1 - bR_2}{h} \cdot \ln \frac{R_1}{R_2} - (a - b) \right]}; \quad (3)$$

б) сечением кривого бруса является равнобочная трапеция с основаниями в виде сегмента круга (рис. 2, г). В этом случае общая площадь будет

$$F = \frac{a + b}{2} \cdot h + \frac{b^2}{4} \left( \frac{\alpha_1}{\sin^2 \alpha_1} - \frac{1}{\operatorname{tg} \alpha_1} \right) +$$

$$+ \frac{a^2}{4} \left( \frac{\alpha_2}{\sin^2 \alpha_2} - \frac{1}{\operatorname{tg} \alpha_2} \right);$$

в) сечением бруса является равнобочная трапеция с закругленными основаниями в виде полуэллипсов (рис. 2, д). Общая площадь

$$F = \frac{a + b}{2} \cdot h + \frac{\pi a_1 b_1}{2} + \frac{\pi a_2 b_2}{2}; \quad a = 2a_2; \quad b = 2a_1;$$

г) сечением бруса является равнобочная трапеция с полукруглыми основаниями (рис. 2, е).  
 Общая площадь

$$F = \frac{\pi a_1^2}{2} + \frac{\pi a_2^2}{2} + \frac{a+b}{2} \cdot h; \quad a_1 = r_1; \quad a_2 = r_2.$$

На рис. 2, з, д, е по сравнению с рис. 2, б приняты обозначения  $h_0 = R_2$ .

### 3. Приближенное решение задачи напряженного состояния кривого бруса

На основе методов сопротивления материалов в поперечных сечениях кривого бруса возникающее напряженное состояние складывается из напряжения растяжения и напряжения от изгибающего момента  $M_{изг}$ :  $\sigma = \sigma_{раст} + \sigma_{изг}$ , где  $\sigma_{раст} = P/F$  — напряжение от растяжения.

Напряжения от изгибающего момента определяются с учетом кривизны бруса.

$$\sigma_{изг} = \frac{M_{изг}}{F \cdot e} \cdot \frac{y}{r+y},$$

Здесь  $M_{изг} = P(R_2 + h_1)$  — изгибающий момент;  $F$  — площадь поперечного сечения;  $e = \rho - r$  — расстояние от нейтральной линии (слоя) до центра тяжести сечения;  $y$  — расстояние от нейтрального слоя до рассматриваемой точки сечения (для которой определяется напряжение).

Таким образом, суммарное напряжение, возникающее в поперечном сечении кривого бруса, определяются следующим выражением

$$\sigma = \sigma_{раст} + \sigma_{изг} = \frac{P}{F} + \frac{M_{изг}}{F \cdot e} \cdot \frac{y}{r+y}.$$

В точках внутреннего контура (в точке «А») нормальное напряжение  $\sigma_A$  получает максимальное значение, так как для точек внутреннего контура напряжения от растягивающей силы  $P$  (то есть напряжение  $\sigma_P$ ) и от изгибающего момента  $M_{изг}$  (т. е. напряжение  $\sigma_{изг}$ ) суммируется (при этом  $y = r - R_2$ )

$$\begin{aligned} \sigma_{max} = \sigma_A = \sigma_{раст} + \sigma_{изг} &= \frac{P}{F} + \frac{M_{изг}}{F \cdot e} \cdot \frac{r - R_2}{R_2} = \\ &= \frac{P}{F} + \frac{P(R_2 + h_1)}{F \cdot e} \cdot \frac{r - R_2}{R_2}. \end{aligned}$$

Применяя эту формулу для различных поперечных сечений, соответственно получим:

а) для кривого бруса с круговым поперечным сечением:

$$\sigma_{max} = \sigma_A = \frac{P}{\frac{d^2}{4}} + \frac{P \left( R_2 + \frac{d}{2} \right)}{F \cdot e} \cdot \frac{r - R_2}{R_2}.$$

Значения  $e$  и  $p$  определяются формулой (1); б) сечением кривого бруса является прямоугольник.

Максимальное нормальное напряжение  $\sigma_{max}$  при этом будет определено на основе следующего выражения:

$$\begin{aligned} \sigma_{max} = \sigma_A = \sigma_{раст} + \sigma_{изг} &= \frac{P}{h \cdot b} + \\ &+ \frac{P \left( R_2 + \frac{h}{2} \right)}{F \cdot e} \cdot \frac{r - R_2}{R_2}. \end{aligned}$$

Величины  $e$  и  $p$  определяются формулой (2); в) поперечное сечение кривого бруса является равнобочная трапеция с прямолинейными основаниями. В этом случае напряжение в точках внутреннего контура (цилиндрическая поверхность радиуса  $R_2$ ) определяется следующим выражением:

$$\begin{aligned} \sigma_{max} = \sigma_A = \sigma_{раст} + \sigma_{изг} &= \\ &= \frac{P}{\frac{a+b}{2} \cdot h} + \frac{P(R_2 + h_1)}{F \cdot e} \cdot \frac{r - R_2}{R_2}, \end{aligned}$$

где величины  $h_1$ ,  $e$  и  $p$  определяются на основе формул (3).

### 4. Определение напряженного состояния криволинейных брусьев

Под действием приложенной силы  $P$  в поперечных сечениях кривого бруса возникает нормальное напряжение, разлагающееся на две составляющие: нормальное напряжение от растягивающей силы  $P$  и нормальное напряжение от чистого изгиба моментом  $M_{изг} = P \cdot x$  (где  $x$  — длина плеча пары), при этом максимальное значение длины плеча  $x_{max} = R_2 + h_1$  (рис. 2, в). Поэтому рассматриваемая задачи делится на две задачи: растяжение однородного бруса силой  $P$  (перпендикулярная к площади поперечного сечения  $F$ ) и чистый изгиб кривого бруса моментом  $M_{изг}$ .

1. Растяжение бруса силой  $P$ .

Как известно [1, 5–9] при растяжении бруса силой  $P$ , компоненты напряжения будут определяться формулами:

$$\sigma_\theta = \frac{P}{F}; \quad \sigma_r = \sigma_z = \tau_{r\theta} = 0.$$

Тогда все уравнения равновесия и условия совместности деформации удовлетворяются тождественно. В этом можно убедиться, подставляя эти выражения в соответствующие уравнения.

## 2. Чистый изгиб криволинейных брусьев.

Как известно, при исследованиях напряженного состояния в круглых дисках, на концах криволинейных брусьев с круговой осью, удобно использовать полярные координаты ( $r$  и  $\theta$ ). Если теперь ввести функцию напряжений  $\varphi(x, y) = \varphi(r, \theta)$ , то уравнения равновесия и условия совместности сводятся к следующему виду [1, 5–9].

$$\Delta\Delta\varphi = 0, \quad (4)$$

где

$$\Delta = \frac{\partial^2}{\partial x^2} + \frac{\partial^2}{\partial y^2} = \frac{1}{r} \frac{\partial}{\partial r} + \frac{1}{r^2} \frac{\partial^2}{\partial \theta^2} + \frac{\partial^2}{\partial r^2}$$

— оператор Лапласа.

Уравнение (4) называется бигармоническим уравнением, поэтому функция напряжения должна быть бигармонической.

Если рассматриваются осесимметричные задачи, которые не зависят от переменной  $\theta$  (полярного угла), то для этих задач бигармоническое уравнение (4) примет более простой вид.

$$\left( \frac{\partial^2}{\partial r^2} + \frac{1}{r} \frac{\partial}{\partial r} \right) \left( \frac{\partial^2 \varphi}{\partial r^2} + \frac{1}{r} \frac{\partial \varphi}{\partial r} \right) = 0. \quad (5)$$

При этих предположениях все формулы существенно упростятся.

Известно, что общее решение дифференциального уравнения четвертого порядка (5) можно принять в следующем виде [6], [7], [9]

$$\varphi(r) = C_1 C_2 \cdot \ln r + C_4 r^2 \cdot \ln r + C_3 \cdot r^2. \quad (6)$$

Подставляя выражение (6) в формулы, компоненты напряжений  $\sigma_r$ ,  $\sigma_\theta$  и  $\tau_{r\theta}$  будут определяться следующим образом:

$$\begin{aligned} \sigma_r &= \frac{C_2}{r^2} + C_4(1 + 2\ln r) + 2C_3; \\ \sigma_\theta &= -\frac{C_2}{r^2} + C_4(3 + 2\ln r) + 2C_3; \quad \tau_{r\theta} = 0. \end{aligned} \quad (7)$$

Аналогичным образом можно определить компоненты деформации  $\varepsilon_r$ ,  $\varepsilon_\theta$  и  $\gamma_{r\theta}$ .

Из общего решения (6) осесимметричных задач можно получить решение для многих частных задач о полярно-симметричных случаях (при отсутствии объемных сил).

Интегральные постоянные  $C_1 \div C_4$  определяются из граничных условий каждой конкретной задачи в отдельности.

При чистом изгибе криволинейного бруса, ось которого очерчена по дуге окружности от изгибающего момента  $M_{изг}$ , имеем следующие граничные условия.

➔ на внутренней цилиндрической поверхности радиуса  $r = R_2$ , радиальное направление напряжения  $\sigma_r$ , а также  $\tau_{r\theta}$  отсутствует (так как нормальная сила отсутствует):  $\sigma_r = 0$ ;  $\tau_{r\theta} = 0$  при  $r = R_2$ ;

➔ на внешней поверхности бруса (при  $r = R_1$ ) компоненты напряжений  $\sigma_r$  и  $\tau_{r\theta}$  также отсутствуют (так как нормальная сила равна нулю):  $\sigma_r = 0$ ;  $\tau_{r\theta} = 0$  при  $r = R_1$ ;

➔ на торцах кривого бруса равнодействующая нормальных напряжений  $\sigma_\theta$  равно нулю:

$$\int_F \sigma_\theta \cdot dF = 0;$$

➔ момент, создаваемый напряжениями  $\sigma_\theta$ , должен приводиться к паре с моментом  $M_{изг}$ :

$$\int_F \sigma_\theta \cdot r \cdot dF = M_{изг}.$$

В этих формулах величина  $dF$  — элементарная площадь поперечного сечения:

$$dF = b^* dr,$$

где  $b^*$  — ширина элементарной полосы в каждой поперечном сечении,  $dr$  — высоты элементарной полосы.

Так как для прямоугольного поперечного сечения  $dF = b dr$ , где  $b = \text{const}$ , то компоненты напряжений в криволинейном брус с прямоугольным поперечным сечением будут определяться формулами:

$$\begin{aligned} \sigma_r &= \frac{P}{F} + \frac{1}{r^2} \left[ -\frac{4M}{b \cdot \delta} R_1^2 R_2^2 \ln \frac{R_1}{R_2} \right] + (1 + 2\ln r) \times \\ &\times \left[ -\frac{2M}{b \cdot \delta} (R_1^2 - R_2^2) \right] + \frac{2M}{b \cdot \delta} \left[ R_1^2 - R_2^2 + 2(R_1^2 \ln R_1 - R_2^2 \ln R_2) \right]; \\ \sigma_\theta &= \frac{P}{F} + \frac{1}{r^2} \left[ -\frac{4M}{b \cdot \delta} R_1^2 R_2^2 \ln \frac{R_1}{R_2} \right] + (3 + 2\ln r) \times \\ &\times \left( -\frac{2M}{b \cdot \delta} \right) (R_1^2 - R_2^2) + \frac{2M}{b \cdot \delta} \left[ R_1^2 - R_2^2 + 2(R_1^2 \ln R_1 - R_2^2 \ln R_2) \right]; \\ \tau_{r\theta} &= 0. \end{aligned} \quad (7)$$

Учитывая, что для трапециевидального поперечного сечения, элементарная площадь определяется выражением (рис. 3).

$$dF = b^* \cdot dr = \left[ b + \frac{a-b}{h} (R_1 - r) \right] dr,$$

то, компоненты нормальных напряжений  $\sigma_r, \sigma_\theta$  и  $\tau_{r\theta}$  в точках внутренней цилиндрической поверхности определяем следующими формулами (заменяя  $M_{изг} = -M$ ):

$$\begin{aligned} \sigma_r &= \frac{-2M}{\alpha_1} \cdot \ln \frac{R_1}{R_2} \cdot \frac{R_1^2}{R_1^2 - R_2^2} + \frac{P}{F} + \\ &+ \frac{M}{\delta_3} \cdot \left( 1 + 2 \frac{\alpha_2}{\alpha_1} \right) + \frac{M}{\alpha_1} \cdot (1 + 2 \ln R_2); \\ \sigma_\theta &= \frac{2M}{\alpha_1} \cdot \ln \frac{R_1}{R_2} \cdot \frac{R_1^2}{R_1^2 - R_2^2} - \frac{M}{\alpha_1} \cdot (3 + 2 \ln R_2) + \\ &+ \frac{P}{F} + \frac{(-M)}{\delta_3} \cdot \left( 1 + 2 \frac{\alpha_2}{\alpha_1} \right); \tau_{r\theta} = 0; \end{aligned} \quad (8)$$

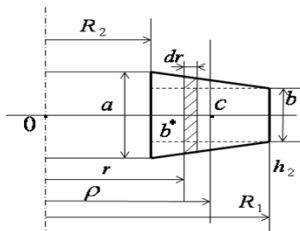


Рис. 3. Трапецидальное поперечное сечение

Если поперечное сечение кривого бруса будет круговым, то ход решения задачи не изменится. Следует отметить, что при этом элементарная площадь поперечного сечения  $dF$  будет в следующем виде (рис. 4):

$$\begin{aligned} dF &= b \cdot d\rho = 2\sqrt{R^2 - r^2} \cdot d\rho; \\ \rho &= R_2 + R - r = a - r; \quad d\rho = -dr, \end{aligned}$$

где  $a = R_2 + R$ ,  $R$  — радиус кругового сечения. Поэтому изгибающий момент  $\tau_{r\theta}$ , будет определяться равенством:

$$\begin{aligned} M_{изг} &= \int_F \sigma_\theta \rho dF = \int_{R_2}^{R_1} \left[ -\frac{C_2}{\rho^2} + 2C_3 + C_4 (3 + 2 \ln \rho) \right] \rho dF = \\ &= - \int_{R_2}^{R_1} \left[ -\frac{C_2}{a-r} + 2C_3 (a-r) + C_4 \cdot 2(a-r) \ln(a-r) + \right. \\ &\left. + 3C_4 (a-r) \right] \cdot 2\sqrt{R^2 - r^2} \cdot dr. \end{aligned}$$

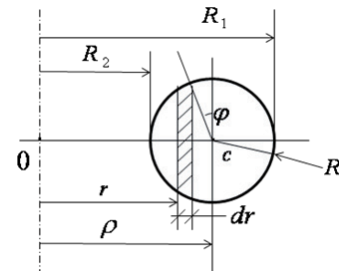


Рис. 4. Круговое поперечное сечение

Далее, решая это уравнение совместно с условиями неразрывности деформации, можно определить интегральные постоянные  $C_2, C_3$  и  $C_4$ , а тем самым компоненты нормальных напряжений  $\sigma_r, \sigma_\theta$  и  $\tau_{r\theta}$ .

Суммарное максимальное напряжение  $\sigma_\theta$  будет определяться аналогично формуле (8).

Полученные решения (для прямоугольного, кругового и трапецидального сечения) иллюстрируются соответствующими числовыми примерами.

### 5. Числовые результаты, вычисленные по методу теории упругости

Размеры поперечных сечений кривого бруса и значения нагрузки  $P$  при числовых расчетах такие же, как и в первом пункте (где результаты вычислений проводились по методу сопротивления материалов).

**Кривой брус прямоугольного поперечного сечения.** Вычисленные по формуле (7) максимальные напряжения  $\sigma_\theta$  имеют следующие значения, представленные в табл. 1.

Таблица 1

	Кривой брус прямоугольного поперечного сечения			Кривой брус с трапецидальным поперечным сечением			Кривой брус с круговым поперечным сечением		
	P (т)	Ф (см <sup>2</sup> )	σ <sub>θ</sub> кг/см <sup>2</sup>	P (т)	Ф (см <sup>2</sup> )	σ <sub>θ</sub> кг/см <sup>2</sup>	P (т)	Ф (см <sup>2</sup> )	σ <sub>θ</sub> кг/см <sup>2</sup>
1	4	8	93,41	4	18	15,56	4	12,56	79,3
2	10	18	32,6	10	30	20,4	10	28,20	30,8

Критическая нагрузка  $P_{кр}$  на основе критерия Гриффитса-Ирвина вычисляется по формуле [3–5]:

$$P_{кр} = \frac{10}{0,97 \cdot 4a} [\sigma_b].$$

где  $a$  — значения максимального нормального напряжения  $\sigma_{max}$ , а  $[\sigma_b]$  — предел выносливости материала кривого бруса [1, 6, 7, 10, 11] — значения, представленные в табл. 2.

Таблица 2

Материалы	$[\sigma_{\theta}]$
Ст-10 – сталь	34 кг/см <sup>2</sup>
Ст-25 – сталь	46 кг/см <sup>2</sup>
Ст-40 – сталь	58 кг/см <sup>2</sup>
Ст-20 – сталь	80 кг/см <sup>2</sup>
Ст-(12–28) серый чугун 50 кг/мм <sup>2</sup> при сжатии, 12 кг/мм <sup>2</sup> – при растяжении	

Подставляя найденные значения величины  $a = \sigma_{\max}$ , подобрав материал, можно найти критическую нагрузку  $P_{кр}$  по вышеуказанной формуле, при которой начинается разрушение.

Для вышеуказанных поперечных сечений кривого бруса, критическая нагрузка  $P_{кр}$ , получила такие значения:

- а)  $P_{кр} = 2,997[\sigma_{\theta}]$ ,  
 б)  $P_{кр} = 2,26[\sigma_{\theta}]$ ,  
 в)  $P_{кр} = 3,48[\sigma_{\theta}]$ .

## 5. Выводы

Анализ полученных числовых результатов, вычисленных по обоим методам, показал, что в инженерных расчетах можно с достаточной точностью пользоваться методами сопротивления материалов, так как максимальные отклонения не превышают 5 % от точного расчета.

## Литература

1. Беляев, Н. М. Сопротивление материалов [Текст] / Н. М. Беляев. – М.: Наука, 1963. – 856 с.
2. Кулиев, С. А. Теоретическая механика (краткий курс) [Текст] / С. А. Кулиев, Е. Б. Айвязов. – Баку, Азернешр, 2003. – 396 с.
3. Тарг, С. М. Краткий курс теоретической механики [Текст] / С. М. Тарг. – М.: Физматиз, 1968. – 480 с.
4. Яблонский, А. А. Курс теоретической механики [Текст] / А. А. Яблонский. – М.: Высшая школа, 1977. – 368 с.
5. Амензаде, Ю. А. Теория упругости [Текст] / Ю. А. Амензаде. – М.: Высшая школа, 1976. – 272 с.
6. Кулиев, С. А. Двумерные задачи теории упругости [Текст] / С. А. Кулиев. – М.: Строиздат, 1992. – 352 с.
7. Кулиев, С. А. Некоторые задачи теории упругости [Текст] / С. А. Кулиев. – Баку, Азернешр, 2001. – 400 с.
8. Мухелишвили, Н. И. Некоторые задачи математической теории упругости [Текст] / Н. И. Мухелишвили. – М.: Наука, 1966. – 648 с.
9. Тимошенко, С. Р. Теория упругости [Текст] / С. Р. Тимошенко. – М.: Наука, 1965. – 364 с.
10. Бережнитский, Л. Т. Изгиб тонких пластинок с дефектами типа трещин [Текст] / Л. Т. Бережнитский, М. В. Делявский, В. В. Паносюк. – Киев: Науково-думка, 1979. – 400 с.
11. Шерман, Д. Н. Изгиб поперечной силой эллиптического бруса ослабленного продольно круговой цилиндрической полостью [Текст] / Д. Н. Шерман // Институт механики АН СССР. – 1953. – Т. XVII. – С. 121–150.

*Abstract. Stress state of the curved beam, the axis of which is drawn along a circular arc is considered. The beam is limited by the surfaces of the circular hollow cylinder. The cross-section of the beam can be of any shape (three different cross-sections, namely circular, rectangular and trapezoidal is taken as an example).*

*The solution of the problem consists of three series of tasks: selecting the cross-section, approximate solution (based on the methods of strength of materials) and exact solution of the problem using the method of the theory of elasticity.*

*Keywords: lifting hooks, cross-section stress state, approximate solution, exact solution.*